

СИНТЕЗ И СВОЙСТВА  
НЕОРГАНИЧЕСКИХ СОЕДИНЕНИЙ

УДК 546.81'78'21+548.5'73+537.226

ПОЛУЧЕНИЕ, РЕНТГЕНОСТРУКТУРНЫЕ И ДИЭЛЕКТРИЧЕСКИЕ  
ИССЛЕДОВАНИЯ МОНОКРИСТАЛЛОВ ФАЗЫ  $\text{Pb}_5\text{WO}_8$   
СИСТЕМЫ  $\text{PbO}-\text{WO}_3$

© 2023 г. А. А. Буш<sup>a</sup>, \*, В. И. Козлов<sup>a</sup>, А. И. Сташ<sup>b</sup>, С. А. Иванов<sup>c, d</sup>

<sup>a</sup>МИРЭА – Российский технологический университет (РТУ МИРЭА),  
пр-т Вернадского, 78, Москва, 119454 Россия

<sup>b</sup>Институт элементоорганических соединений им. А.Н. Несмиянова РАН,  
ул. Вавилова, 28, Москва, 119334 Россия

<sup>c</sup>Московский государственный университет им. М.В. Ломоносова, химический факультет,  
Ленинские горы, 1, Москва, 119991 Россия

<sup>d</sup>Федеральный исследовательский центр химической физики им. Н.Н. Семенова РАН,  
ул. Косыгина, 4, Москва, 119991 Россия

\*e-mail: aabush@yandex.ru

Поступила в редакцию 17.05.2022 г.

После доработки 01.08.2022 г.

Принята к публикации 02.08.2022 г.

Путем кристаллизации расплавов смесей  $(1 - x)\text{PbO} \cdot x\text{WO}_3$  ( $x = 0.15\text{--}0.20$ ) выращены монокристаллы фазы  $\text{Pb}_5\text{WO}_8$  системы  $\text{PbO}-\text{WO}_3$ , которые использовали для проведения термогравиметрических, рентгеноструктурных и диэлектрических исследований. Выявлено, что фаза плавится с разложением на  $\text{PbO}$  и жидкость при  $712^\circ\text{C}$ . Установлено, что кристаллическая структура  $\text{Pb}_5\text{WO}_8$  является моноклинной (пр. гр.  $P2_1/n$ , 293 К) с параметрами элементарной ячейки  $a = 7.4430(1)$ ,  $b = 12.1156(2)$ ,  $c = 10.6284(2)$  Å,  $\beta = 90.658(1)^\circ$ . При 100 К структура  $\text{Pb}_5\text{WO}_8$  сохраняется, незначительные изменения параметров ячейки связаны только с тепловым расширением. Структура  $\text{Pb}_5\text{WO}_8$  имеет ярко выраженный слоистый характер, она представляется как чередование вдоль направления [010] слоев, образованных октаэдрами  $\text{WO}_6$  и сильно искаженными многогранниками  $\text{PbO}_4$ ,  $\text{PbO}_5$ . Проведен детальный кристаллохимический анализ структуры. Отмечена важная роль неподеленной пары электронов катионов  $\text{Pb}$  при формировании в структуре характерных полостей. На температурных зависимостях диэлектрической проницаемости и тангенса угла диэлектрических потерь проявляются максимумы релаксационного характера, связанные с наличием в структуре вакансий свинца и кислорода.

**Ключевые слова:** фаза  $\text{Pb}_5\text{WO}_8$ , монокристаллы, термогравиметрический анализ, рентгеноструктурный анализ, кристаллическая структура, диэлектрические свойства

**DOI:** 10.31857/S0044457X22600815, **EDN:** GVADOV

## ВВЕДЕНИЕ

Согласно фазовой диаграмме системы  $\text{PbO}-\text{WO}_3$  [1], в ней образуются две промежуточные фазы состава  $\text{PbWO}_4$  и  $\text{Pb}_2\text{WO}_5$ , плавящиеся конгруэнтно при  $1123(5)$  и  $935(5)^\circ\text{C}$  соответственно. Недавно в этой системе была выявлена еще одна фаза состава  $\text{Pb}_5\text{WO}_8$  моноклинной симметрии [2] и установлена ее изоструктурность с фазой  $\text{Pb}_5\text{TeO}_8$  [3].

Из известных фаз рассматриваемой системы наиболее изучена фаза  $\text{PbWO}_4$ , монокристаллы которой широко используются в экспериментах по физике высоких энергий [4–7]. По этой причине радиационная стойкость кристаллов  $\text{PbWO}_4$  широко изучалась в течение последних десятиле-

тий (обзор см. в ссылках [4–7]). Другие фазы системы  $\text{PbO}-\text{WO}_3$  изучены в значительно меньшей степени.

Исследования фазы  $\text{Pb}_5\text{WO}_8$  ограничены только работой [2]. В ней методом твердофазных реакций смесей  $5\text{PbO}-\text{WO}_3$  при  $650^\circ\text{C}$  в вакуумированных кварцевых ампулах синтезированы поликристаллические образцы этой фазы [2]. Монокристаллы  $\text{Pb}_5\text{WO}_8$  получены кристаллизацией путем охлаждения от  $800^\circ\text{C}$  до комнатной температуры со скоростью 300 град/ч расплава смеси  $\text{Pb}_2\text{WO}_5-\text{LiF}$  в  $\text{Al}_2\text{O}_3$ -тигелях. Выполнен рентгеноструктурный анализ кристаллов ( $R$ -фактор равен 3.8%). Установлено, что кристаллы описываются моноклинной пр. гр.  $P2_1/n$  с пара-

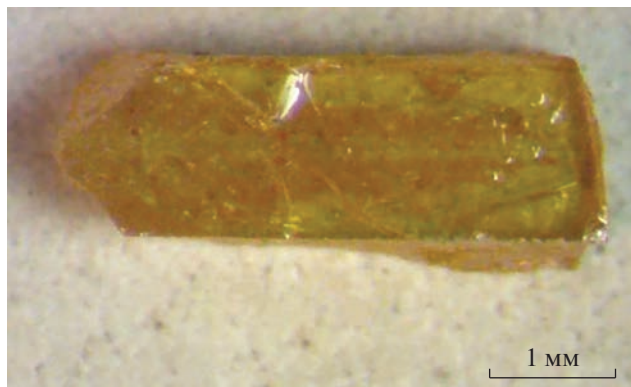


Рис. 1. Фотография монокристалла  $\text{Pb}_5\text{WO}_8$ .

метрами элементарной ячейки  $a = 7.4379(2)$ ,  $b = 12.1115(4)$ ,  $c = 10.6171(3)$  Å,  $\beta = 90.6847(8)^\circ$ .  $\text{Pb}_5\text{WO}_8$  имеет слоистую структуру, образованную неконденсированными октаэдрами  $[\text{WO}_6]^{6-}$  и олигомерами  $[\text{O}_4\text{Pb}_{10}]^{12+}$ , структурная формула имеет вид  $\text{Pb}_5\text{O}_2[\text{WO}_6]$ .

Порошкообразные образцы фазы  $\text{Pb}_5\text{WO}_8$  исследованы с помощью инфракрасных и рамановских спектров, спектров ультрафиолетового и видимого излучения, а также квантово-химических и электростатических расчетов, определяющих ширину запрещенной зоны как 2.8–2.9 эВ.

Выполнен термогравиметрический анализ (ТГА) образцов  $\text{Pb}_5\text{WO}_8$  при их нагреве от комнатной температуры в атмосфере азота до 1400°C в корундовых тиглях. В изученном температурном диапазоне зафиксирована одна ступень, соответствующая потере 56.1% массы начиная с ~890°C. Поскольку разложение фазы не было завершено вплоть до максимальной температуры, а образец после ТГА имел стеклообразный вид, информация о продуктах разложения фазы не была получена.

Следует отметить, что в работе [2] отсутствуют какие-либо сведения о габитусе и размерах выращенных монокристаллов, о возможности получения монокристаллов  $\text{Pb}_5\text{WO}_8$  из расплавов смесей  $\text{PbO}-\text{WO}_3$ , о температурной области стабильности фазы и температуре ее плавления в воздушной атмосфере, о диэлектрических свойствах кристаллов  $\text{Pb}_5\text{WO}_8$ , кристаллическая структура фазы была изучена только при комнатной температуре. В связи с этим в настоящей работе описаны монокристаллы  $\text{Pb}_5\text{WO}_8$ , выращенные из расплава  $\text{PbO}-\text{WO}_3$ , приведены результаты ТГА образцов  $\text{Pb}_5\text{WO}_8$  в воздушной атмосфере, определения ее кристаллической структуры при 296 и 100 K, а также результаты изучения температурно-частотных зависимостей диэлектрической проницаемости и тангенса угла диэлектрических потерь.

## ЭКСПЕРИМЕНТАЛЬНАЯ ЧАСТЬ

**Синтез образцов.** Образцы состава  $(1-x)\text{PbO} \cdot x\text{WO}_3$  ( $x = 0.10, 0.15, 0.20, 0.25, 0.33$ ) синтезировали методом твердофазных реакций с использованием оксидов  $\text{PbO}$  (ч. д. а.) и  $\text{WO}_3$  (ос. ч.) в качестве исходных компонентов. Гомогенизацию смесей этих оксидов проводили путем перетирания в агатовой ступке в среде этилового спирта. Смесь для синтеза помещали в алундовый тигель и неплотно накрывали алундовой пластиной в качестве диффузионного барьера. Образцы отжигали в течение 2 ч при 710 и 820°C. Охлаждение образцов после обжига до комнатной температуры осуществляли со скоростью ~100 град/ч.

Используемые температуры обжига лежат ниже (710°C) и выше (820°C) эвтектической температуры (730°C) между фазами  $\text{PbO}$  и  $\text{Pb}_2\text{WO}_5$  [1].

Все образцы, спеченные при 710°C, не имели признаков плавления и представляли собой плохо спеченную порошкообразную массу желтого цвета.

Образцы, спеченные при 820°C, имели признаки частичного ( $x = 0.10, 0.25$ ) или полного ( $x = 0.15$  и  $0.20$ ) плавления. Из закристаллизованных расплавов смесей  $(1-x)\text{PbO} \cdot x\text{WO}_3$  ( $x = 0.15-0.20$ ) можно выделить монокристаллические образцы фазы  $\text{Pb}_5\text{WO}_8$ . Эти монокристаллы прозрачны в видимом диапазоне, имеют желтую окраску, обладают пластинчатым габитусом, достигают размеров  $0.5 \times 2.0 \times 4.0$  мм (рис. 1). Наиболее развитыми формами роста кристаллов являются грани  $\{010\}$  (в моноклинной установке, см. ниже). Эти монокристаллы были использованы для проведения рентгеноструктурного анализа при 100 и 293 K и диэлектрических исследований. При изучении монокристаллов с помощью поляризационного микроскопа (Полам Л-213М) их полисинтетическое двойникование не обнаружено.

Рентгенофазовый анализ синтезированных образцов методом порошковой дифракции проводили на автоматическом дифрактометре ДРОН-4 с использованием  $\text{CuK}\alpha$ -излучения. Согласно фазовой диаграмме  $\text{PbO}-\text{WO}_3$ , образцы с  $x = 0.33$  представляют фазу  $\text{Pb}_2\text{WO}_5$  моноклинной симметрии [1, 8–10]. Образцы с  $0.20 < x < 0.33$  и  $0.10 < x < 0.20$  идентифицированы как смесь фазы  $\text{Pb}_5\text{WO}_8$  с фазами  $\text{Pb}_2\text{WO}_5$  и  $\text{PbO}$  соответственно [1, 2, 8–11].

Все наблюдаемые пики на рентгенограмме порошка образцов с  $x = 0.15$  (рис. 2) индицируются с высокой точностью на основе моноклинной элементарной ячейки с  $a = 7.433(2)$ ,  $b = 12.113(2)$ ,  $c = 10.625(3)$  Å,  $\beta = 90.58(2)^\circ$  (в хорошем согласии с данными [2] и результатами наших рентгеноструктурных исследований монокристаллов, представленных ниже), что указывает на их одно-

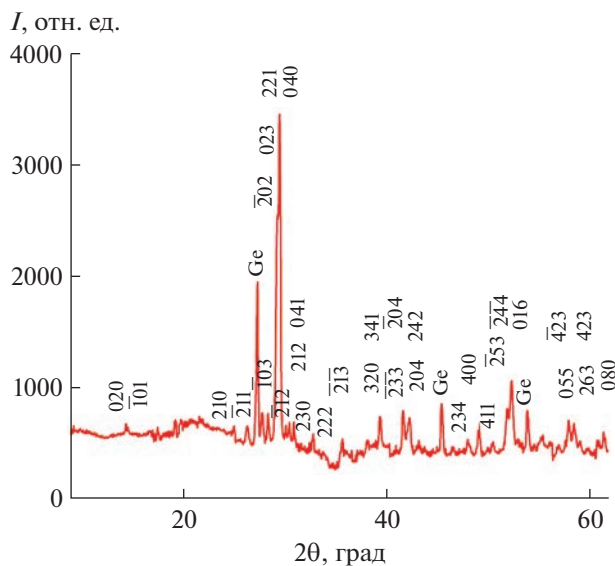


Рис. 2. Дифрактограмма измельченных в порошок кристаллов  $\text{Pb}_5\text{WO}_8$  ( $\text{CuK}\alpha$ -излучение).

фазную природу. Отсутствие существенной летучести компонентов при синтезе образцов в указанном диапазоне температур, установленное термогравиметрическим анализом (потери массы при нагреве до  $750^\circ\text{C}$  не превышали 0.13%), позволяет сделать вывод, что состав этой фазы близок к составу смеси, из которой она была получена. Этот состав подтверждается результатами выполненного нами и в работе [2] рентгеноструктурного анализа монокристаллов указанной фазы. При изменении состава исходной смеси  $(1-x)\text{PbO} \cdot x\text{WO}_3$  в диапазоне  $x = 0.15-0.20$  параметры элементарной ячейки  $\text{Pb}_5\text{WO}_8$  сохраняют свои значения в пределах точности их определения, что указывает на отсутствие заметной области гомогенности фазы  $\text{Pb}_5\text{WO}_8$  на фазовой диаграмме системы  $\text{PbO}-\text{WO}_3$ .

**Термогравиметрический анализ** проводили в воздушной атмосфере с использованием автоматизированной термогравиметрической установки Q-1500D системы F. Paulik, J. Paulik, L. Erdey. Исследуемый и эталонный порошковые образцы помещали в Pt-тигли, в качестве стандартного образца использовали прокаленный при  $1200^\circ\text{C}$  порошок  $\text{Al}_2\text{O}_3$ . Результаты ТГА порошка, синтезированного при  $710^\circ\text{C}$ , приведены на рис. 3. Наличие двойного пика на кривой дифференциального термического анализа в области плавления образца, а также данные РФА образца после проведенного ТГА позволяют заключить, что фаза плавится с разложением на  $\text{PbO}$  и жидкость при  $712^\circ\text{C}$ , полное плавление происходит при  $714.4^\circ\text{C}$ . Нагрев образца выше  $560^\circ\text{C}$  сопровождается слабым необратимым уменьшением его массы, не превосходящим 0.1%, которое, вероятно, вызвано испарением  $\text{PbO}$  из образца.

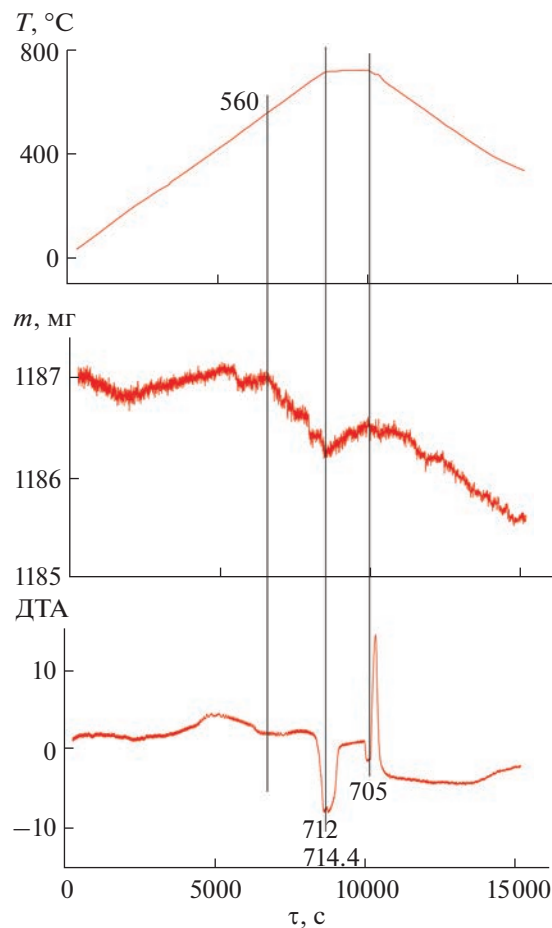


Рис. 3. Результаты термогравиметрического анализа синтезированного при  $710^\circ\text{C}$  порошка фазы  $\text{Pb}_5\text{WO}_8$ .

**Рентгеноструктурные исследования** монокристаллов  $\text{Pb}_5\text{WO}_8$ . Рентгеноструктурный анализ проводили на монокристалле, имеющем форму параллелепипеда с размерами  $0.103 \times 0.064 \times 0.048$  мм, выделенном из кристаллизованного расплава смеси  $5\text{PbO}-\text{WO}_3$ .

Экспериментальные наборы рентгенодифракционных данных для монокристаллов исследуемого соединения были собраны на автоматическом дифрактометре Bruker D8 QUEST при  $100\text{ K}$  и Bruker APEX II с детектором Photon II при  $293\text{ K}$  (монохроматизированное графитом  $\text{MoK}\alpha$ -излучение,  $\lambda = 0.71073\text{ \AA}$ ,  $\omega$ -сканирование).

Для интегрирования дифракционных отражений использовали программу SAINT v.8.38A. Численная поправка на поглощение рентгеновских лучей по габитусу кристалла и приведение к единой шкале интегральных интенсивностей были выполнены с помощью программы SADABS v.2016/2 из программного обеспечения APEX3 [12]. Расшифровку кристаллической структуры проводили с использованием программного пакета

**Таблица 1.** Кристаллографические данные и экспериментальные детали для кристаллической структуры  $\text{Pb}_5\text{WO}_8$

Температура, К	100(2)	293(2)
Молекулярная масса	1347.80	
Кристаллографическая система, пр. гр.	Моноклинная, $P2_1/n$	
Число формульных единиц в элементарной ячейке $Z$	4	
$a$ , Å	7.4232(1)	7.4430(1)
$b$ , Å	12.0882(2)	12.1156(2)
$c$ , Å	10.6013(2)	10.6284(2)
$\beta$ , град	90.7546(7)	90.658(1)
Объем элементарной ячейки $V$ , Å <sup>3</sup>	951.21(3)	958.37(3)
Дифрактометр	Bruker QUEST D8 with Photon III detector	Bruker APEXII with Photon II detector
Тип излучения	$\text{Mo}K_{\alpha}$ , $\lambda = 0.71073$ Å	
Число измеренных, независимых и наблюдаемых [ $I > 2\sigma(I)$ ] рефлексов	71569, 7939, 7318	51455, 7798, 4688
Фактор надежности $R_{\text{int}}$	0.067	0.098
Диапазон $\theta$ для сбора данных, град	2.55–45.30	
Коэффициент поглощения $\mu$ , мм <sup>-1</sup>	100.23	99.49
Размер кристалла, мм	0.103 × 0.064 × 0.048	
Учет поглощения	Численное	
Коэффициенты пропускания $T_{\min}$ , $T_{\max}$	0.017, 0.113	
Факторы надежности	0.0235, 0.0535, 1.103	0.0498, 0.1048, 0.935
$R[F^2 > 2\sigma(F^2)]$ , $wR(F^2)$ , GOF		
Число рефлексов	7939	7798
Число параметров	128	128
Разностная электронная плотность, $\Delta\rho_{\max}/\Delta\rho_{\min}$ (e/Å <sup>-3</sup> )	5.185/–4.250	6.426/–3.598
Номер CSD	2156504	2156503

Bruker Shelxtl Apex3 [12, 13], применяя программу XPREP для определения пространственной группы, а также программы XT и XL для решения и уточнения структуры соответственно. Уточнение кристаллической структуры было проведено полнотричным методом наименьших квадратов на  $F^2(hkl)$  с анизотропными тепловыми параметрами для всех атомов.

## РЕЗУЛЬТАТЫ И ОБСУЖДЕНИЕ

**Структурное описание.** В соответствии с работой [2] было обнаружено, что симметрия кристаллической структуры изученной фазы описывается при комнатной температуре пр. гр.  $P2_1/n$ , которая сохраняется при охлаждении кристалла вплоть до 100 К.

В рентгенодифракционных экспериментах, проведенных при 100 К, не обнаружено дополнительных брэгговских отражений, которые не вписываются в пр. гр.  $P2_1/n$ . Подробная информация о выполненных рентгенодифракционных экспериментах при 100 и 293 К, а также результаты уточнения кристаллической структуры  $\text{Pb}_5\text{WO}_8$  представлены в табл. 1. Координаты, заселенности позиций и параметры изотропного смещения структурно-независимых атомов приведены в табл. 2.

На промежуточном этапе уточнения заселенности позиций всех атомов было установлено, что в пределах трех стандартных отклонений они практически не отличаются от стехиометрических значений. Поэтому при окончательном уточнении структуры заселенности всех атомов были приняты равными единице.

**Таблица 2.** Координаты атомов, эквивалентные параметры их изотропного смещения и заселенности позиций в структуре  $\text{Pb}_5\text{WO}_8$  (позиция Вайкоффа для всех атомов в структуре соответствует  $4e$ )

Атом	<i>x</i>	<i>y</i>	<i>z</i>	$U_{\text{экв}}$	Заселенность позиций
Температура 100 К					
Pb(1)	0.38705(2)	0.60802(2)	0.58935(2)	0.00573(2)	0.978(7)
Pb(2)	0.86853(2)	0.15311(2)	0.58682(2)	0.00593(2)	0.977(7)
Pb(3)	0.38094(2)	0.12578(2)	0.55566(2)	0.00635(2)	0.978(7)
Pb(4)	0.16796(2)	0.37570(2)	0.75973(2)	0.00640(2)	0.981(7)
Pb(5)	0.89858(2)	0.60771(2)	0.60141(2)	0.00659(2)	0.976(7)
W(1)	0.65207(2)	0.38898(2)	0.72464(2)	0.00484(2)	0.980(7)
O(1)	0.4494(4)	0.4296(2)	0.6019(2)	0.0067(4)	1.011(15)
O(2)	0.1228(4)	0.5537(2)	0.7304(2)	0.0077(4)	1.006(15)
O(3)	0.6504(4)	0.0713(2)	0.4733(2)	0.0075(4)	1.014(15)
O(4)	0.8222(4)	0.4269(2)	0.5644(3)	0.0080(4)	0.983(15)
O(5)	0.6882(4)	0.5468(2)	0.7452(3)	0.0096(4)	0.983(15)
O(6)	0.8554(4)	0.3463(3)	0.8095(3)	0.0101(4)	0.974(16)
O(7)	0.6217(4)	0.2467(2)	0.6498(3)	0.0098(4)	1.004(16)
O(8)	0.4967(4)	0.3802(3)	0.8524(3)	0.0117(5)	1.028(17)
Температура 293 К					
Pb(1)	0.38738(4)	0.60790(2)	0.58960(3)	0.01495(6)	0.979(12)
Pb(2)	0.86838(4)	0.15218(3)	0.58616(3)	0.01550(7)	0.977(12)
Pb(3)	0.11851(4)	0.62558(3)	0.94453(3)	0.01702(7)	0.977(12)
Pb(4)	0.16808(5)	0.37596(3)	0.75881(3)	0.01738(7)	0.981(12)
Pb(5)	0.89846(5)	0.60759(3)	0.60213(3)	0.01773(7)	0.975(12)
W(1)	0.65243(4)	0.38830(3)	0.72436(3)	0.01237(6)	0.979(12)
O(1)	0.4478(8)	0.4293(5)	0.6014(5)	0.0150(11)	1.06(2)
O(2)	0.1227(8)	0.5528(5)	0.7312(6)	0.0173(11)	0.97(2)
O(3)	0.6480(7)	0.0707(5)	0.4739(5)	0.0178(12)	1.09(2)
O(4)	0.8229(8)	0.4273(5)	0.5656(5)	0.0164(11)	1.02(2)
O(5)	0.6897(9)	0.5451(5)	0.7458(6)	0.0236(14)	0.98(2)
O(6)	0.8525(8)	0.3473(5)	0.8085(6)	0.0201(13)	1.00(2)
O(7)	0.6245(8)	0.2477(5)	0.6504(6)	0.0195(12)	1.01(2)
O(8)	0.4960(9)	0.3781(6)	0.8485(6)	0.0278(16)	0.97(2)

Основные длины связей в структуре  $\text{Pb}_5\text{WO}_8$  приведены в табл. 3. Представление структуры в виде катионных полиздротов выполнено с использованием программы VESTA [14]. Полученные кристаллические структуры (рис. 4–6) депонированы через специальную службу депонирования CCDC/FIZ Karlsruhe: CSD 2156503–2156504.

При сравнении параметров ячейки кристаллической структуры  $\text{Pb}_5\text{WO}_8$  при 100 и 293 К (табл. 1) обращает на себя внимание величина коэффициента теплового расширения ( $\alpha = 3.9 \times 10^{-5} \text{ K}^{-1}$ ), близкая к значению для  $\beta\text{-PbO}$  ( $\alpha = 4.1 \times 10^{-5} \text{ K}^{-1}$  [15, 16]), что, по-видимому, можно объяснить на-

личием значительных пустот в структурном каркасе обоих соединений.

Все атомы в структуре  $\text{Pb}_5\text{WO}_8$  расположены в общих позициях  $4e$  пр. гр.  $P2_1/n$ , что хорошо согласуется с моделью, предложенной в [2]. Наблюдаемое незначительное различие в структурных параметрах можно связать с особенностями методов роста исследуемых кристаллов и точностью проведенных рентгенодифракционных экспериментов.

Структура содержит пять симметрийно независимых катионов Pb с координационными многогранниками  $\text{PbO}_n$ , где  $n = 4$  или 5, искаженными из-за стереохимической активности неподе-

**Таблица 3.** Длины связей М—О в многогранниках  $Pb_5WO_8$  (выделены длины связей за пределами первой координационной сферы 3.0 Å)

Катион	Длина связи М—О, Å		Катион	Длина связи М—О, Å	
	100 К	293 К		100 К	293 К
Pb(1)	2.209(3)	2.214(6)	Pb(4)	2.199(3)	2.188(6)
	2.276(3)	2.300(6)		2.358(3)	2.382(6)
	2.421(3)	2.426(5)		2.412(3)	2.438(6)
	2.568(3)	2.581(6)		2.619(3)	2.610(7)
	2.860(3)	2.883(7)		2.771(3)	2.762(6)
	<b>3.084(3)</b>	<b>3.093(6)</b>		<b>3.335(3)</b>	<b>3.329(6)</b>
	<b>3.612(3)</b>	<b>3.645(6)</b>			
Pb(2)	2.236(3)	2.246(6)	Pb(5)	2.238(3)	2.249(6)
	2.240(3)	2.253(6)		2.291(3)	2.288(5)
	2.261(3)	2.265(6)		2.317(3)	2.318(6)
	2.703(3)	2.733(6)		2.767(3)	2.783(6)
	<b>3.323(3)</b>	<b>3.346(6)</b>		<b>3.132(3)</b>	<b>3.137(6)</b>
	<b>3.335(3)</b>	<b>3.357(6)</b>		<b>3.373(3)</b>	<b>3.375(6)</b>
	<b>3.505(3)</b>	<b>3.538(7)</b>		<b>3.418(3)</b>	<b>3.409(7)</b>
Pb(3)	2.290(3)	2.273(6)	W(1)	1.793(3)	1.774(7)
	2.413(3)	2.408(6)		1.822(3)	1.798(6)
	2.430(3)	2.433(6)		1.906(3)	1.887(6)
	2.506(3)	2.537(6)		1.939(3)	1.933(6)
	2.635(3)	2.652(6)		2.036(3)	2.057(6)
	<b>3.553(3)</b>	<b>3.595(7)</b>		2.179(3)	2.175(6)

ленных пар электронов на катионах  $Pb^{2+}$ , что, по-видимому, оказывает существенное влияние на особенности кристаллической структуры  $Pb_5WO_8$ . Интересной особенностью кристаллической структуры  $Pb_5WO_8$  является тенденция к образованию набора структурных полостей, в которых связываются неподеленные пары электронов. Кристаллическая структура образуется в результате конкуренции между требованиями к катионам  $Pb^{2+}$  с неподеленной парой электронов и октаэдрам  $W^{6+}$ . В кристаллической структуре октаэдры  $WO_6$  и сильно искаженные многогранники  $PbO_n$  объединены вдоль общих вершин и ребер, образуя сложные слои (010) (рис. 4). Слои образуются всеми полиэдрами атомов свинца и вольфрама, и их укладка в структуре происходит вдоль направления [010].

Катионы  $W^{6+}$  расположены между цепочками многогранников  $Pb$ , обеспечивая соединение структуры в трехмерный каркас.

Изолированные октаэдры  $WO_6$  в рассматриваемой структуре заметно искажены от идеальной октаэдрической геометрии. Длины связей  $W^{6+}$ —O варьируются от 1.774(7) до 2.17(6) Å (теоретическая величина, рассчитанная из ионных радиусов, равна 2.00 Å [17]). При этом межатомные расстояния W—O и валентные углы OWO находятся в

удовлетворительном согласии с ранее найденными в структурах  $WO_3$  [18, 19] и  $Pb_2WO_5$  [9].

Для предложенной структурной модели были выполнены расчеты сумм валентностей связей [20, 21]. Установлено, что существует значительный вклад более длинных связей Pb—O вне первой координационной сферы (до 3.6 Å) в общую сумму валентностей каждого отдельного катиона Pb. Включение этих связей в расчеты дало более разумные значения, близкие к номинальным валентностям пяти катионов свинца и вольфрама (1.85–2.14 для  $Pb^{2+}$  и 6.18 для  $W^{6+}$ ).

Если разбить структуру на отдельные фрагменты, наибольшее значение часто придают ближайшему координационному окружению каждого катиона. Этот подход использует два основных понятия: координационный полиэдр и координационное число. Несмотря на активное использование этих понятий в современной кристаллохимии, они не нашли должного отражения применительно к катионам с неподеленной парой электронов, к которым относится катион  $Pb^{2+}$  [22–25].

Для этих катионов характерно наличие открытых (зонтических) анионных координаций, затрудняющих однозначный выбор координационных полиэдров. Под координационным полиэдром катиона  $Pb^{2+}$  в данном случае следует понимать

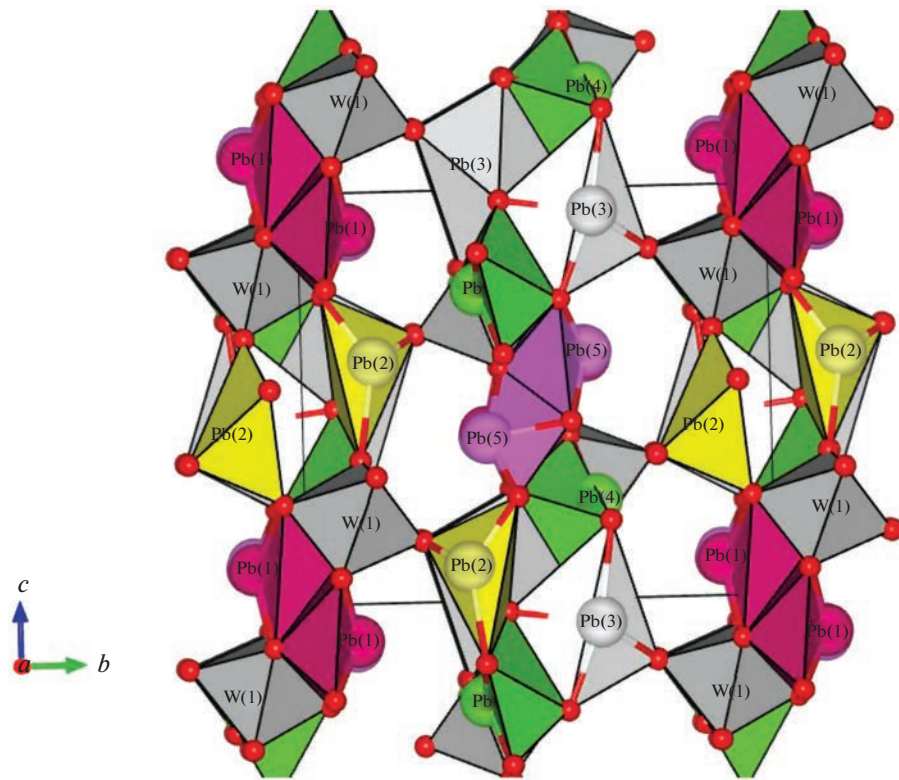


Рис. 4. Полиэдрическое представление кристаллической структуры  $\text{Pb}_5\text{WO}_8$  вдоль направления [100].

воображаемый многогранник, вершинами которого являются ближайшие к центральному атому соседние анионы. Полиэдр представляет собой часть пространства, ограниченную четырьмя или более многоугольниками, которые представляют собой плоскости, ограниченные тремя или более прямыми линиями [26, 27]. Координационным числом катиона свинца считается количество ближайших к данному атому ионов кислорода.

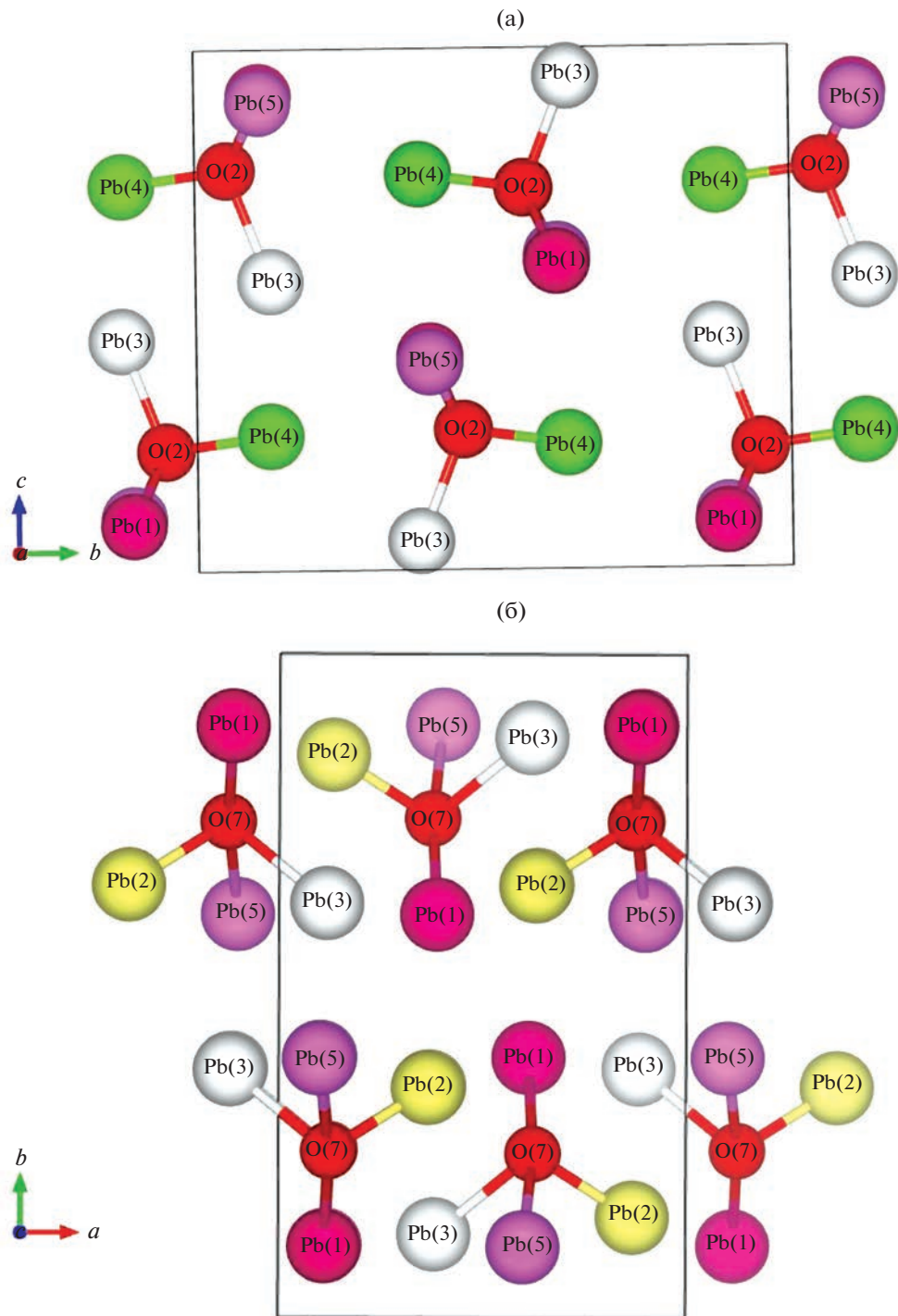
Часто остается неясным, какое же именно координационное число катиона свинца следует считать более обоснованным. Если учесть, что для катионов свинца возможны несколько вариантов описания координационного полиэдра с учетом неподеленной пары электронов [28–31], то ситуация с корректным определением координационного числа открывает широкие возможности для противоречивых оценок.

Вопрос включения катиона  $\text{Pb}^{2+}$  в его координационный полиэдр можно рассматривать с различных точек в зависимости от того, какую именно его особенность мы хотим подчеркнуть. Например, структуру данного кристалла можно изобразить несколькими способами, каждый из которых позволит сконцентрировать внимание на определенном аспекте и сделать выводы, зависящие от поставленной задачи. Следуя рекомендациям, предложенным в [2, 22–25], координа-

ционный полиэдр, характеризующий взаимную пространственную ориентацию межатомных связей, содержит в себе катион  $\text{Pb}^{2+}$ .

Принимая во внимание только связи внутри первой координационной сферы (до 3 Å), наиболее распространенной координацией катионов  $\text{Pb}^{2+}$  в этом соединении является либо тетрагонально-пирамидальная, либо пентагонально-пирамидальная с  $\text{Pb}^{2+}$ , расположенным в вершине пирамиды (рис. 6). Альтернативным описанием последней может также служить Т-образная координация [28–31].

Анионная координация катионов  $\text{Pb}^{2+}$  характеризуется наличием нескольких коротких связей в одной координационной полусфере и дополнительных длинных связей в другой. При этом стереохимически активная неподеленная пара электронов катионов  $\text{Pb}^{2+}$  играет роль дополнительного лиганда и занимает объем, приблизительно равный объему аниона  $\text{O}_2^-$  [32]. Относительное искажение всех имеющихся в структуре координационных многогранников  $\text{PbO}_n$  обусловлено стереохимической активностью неподеленных пар  $6s^2$ -электронов катионов  $\text{Pb}^{2+}$ , что объясняет большие различия в длинах связей  $\text{Pb}^{2+}-\text{O}$  внутри одного и того же многогранника. Набор коротких связей  $\text{Pb}^{2+}-\text{O}$  расположен, как правило, с одной стороны от катионов  $\text{Pb}^{2+}$ , а слабые связи  $\text{Pb}^{2+}-\text{O}$

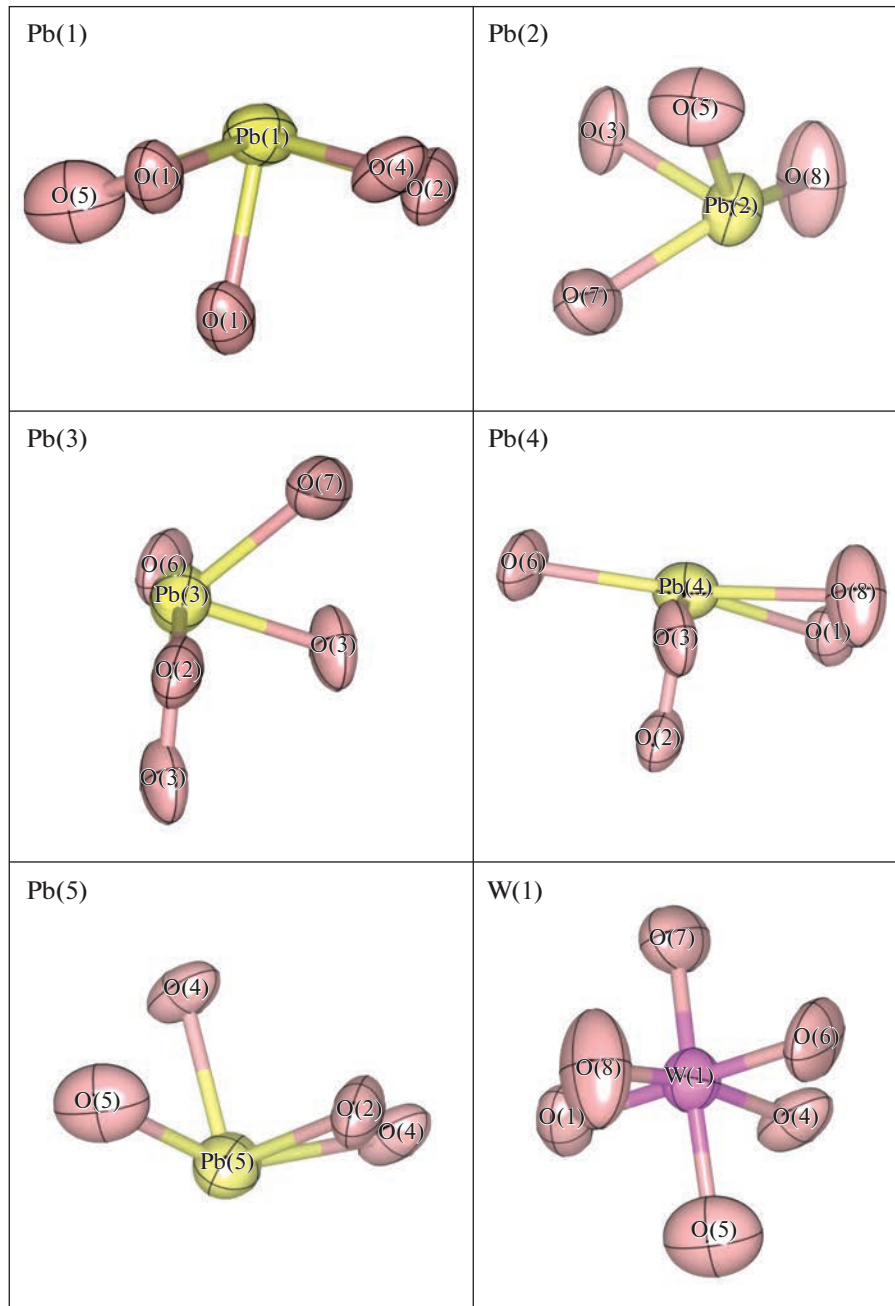


**Рис. 5.** Расположение тетраэдров  $\text{O}(2)\text{Pb}_4$  и  $\text{O}(7)\text{Pb}_4$  в кристаллической структуре  $\text{Pb}_5\text{WO}_8$  в проекции вдоль [100] (а) и [001] (б).

оказываются на другой стороне координационной сферы  $\text{Pb}^{2+}$ . Результаты полиэдрического анализа различных катионов в  $\text{Pb}_5\text{WO}_8$  при 293 К, выполненного с помощью программы IVTON [33], представлены в табл. 4. Обнаружены различные пределы изменений расстояний  $\text{Pb}–\text{O}$  в пределах

первой координационной сферы (до 3 Å). Показано, что расстояния  $\text{Pb}–\text{O}$  флюкируют вокруг суммы ионных радиусов 2.55 Å [17].

Длины этих связей находятся в удовлетворительном согласии с величиной 2.680 Å, найденной для 275 исследованных полиэдров  $\text{Pb}^{2+}$  [34].



**Рис. 6.** Кислородное окружение независимых катионов свинца в кристаллической структуре  $\text{Pb}_5\text{WO}_8$  в проекции вдоль [001] (значение первой координационной сферы рассматривалось как 3 Å). Атомы на рисунках показаны в эллипсоидах тепловых колебаний с вероятностью 99%.

Пять различных подрешеток Pb, не являющихся кристаллографически эквивалентными, отличаются значениями объема координационных многогранников и их искажениями. Установлено, что объем многогранников всех катионов Pb систематически меньше, чем октаэдров W.

Катионы  $\text{W}^{6+}$  смещаются из центров октаэдров, но эти смещения значительно меньше, чем сдвиги катионов  $\text{Pb}^{2+}$  из центра их координаци-

онных многогранников. Как следствие, различия в расстояниях W–O в октаэдрах не столь велики по сравнению с длинами связей Pb–O (табл. 3).

Следует дополнительно рассмотреть концепцию тетраэдров  $\text{OPb}_4$  для описания и структурной классификации комплексных оксидов металлов  $\text{Pb}^{2+}$ , предложенную в [35], где анионы тетраэдрически координированы атомами свинца. Этот подход оксоцентрированных тетраэдров  $\text{OPb}_4$

**Таблица 4.** Результаты полиздрического анализа моноклинной кристаллической структуры  $\text{Pb}_5\text{WO}_8$  при 293 К (сн – координационное число,  $\xi$  – средняя длина связи и пределы ее изменения (учитывались лишь предельные взаимодействия  $\text{Pb}–\text{O}$  с длиной связи не более 3 Å),  $V$  – объем координационного многогранника,  $\omega$  – искажене координационного многогранника

Катион	сн	$\xi, \text{\AA}$	$V, \text{\AA}^3$	$\omega$
Pb(1)	5	$2.483 \pm 0.261$	6.29(1)	0.6691
Pb(2)	4	$2.377 \pm 0.242$	3.87(1)	0.5410
Pb(3)	5	$2.464 \pm 0.142$	8.22(1)	0.4626
Pb(4)	5	$2.480 \pm 0.220$	7.90(1)	0.4966
Pb(5)	4	$2.412 \pm 0.249$	2.67(1)	0.7541
W	6	$1.935 \pm 0.156$	9.47(1)	0.0039

значительно упрощает описание кристаллической структуры и повышает наглядность ее визуализации. Сформулированные в [35] критерии выделения анион-центрированных группировок в качестве структурных элементов справедливо обоснованы их малым размером, поляризумостью и высокой электроотрицательностью центрального аниона, тетраэдрической координацией катионными лигандами, удовлетворительной величиной суммы валентных усилий на центральном атоме.

Благодаря значительному содержанию  $\text{PbO}$  (соотношение  $[\text{Pb}] : [\text{W}] = 5 : 1$ ) структура  $\text{Pb}_5\text{WO}_8$  содержит искаженные тетраэдрические единицы  $\text{O}(2)\text{Pb}_4$  и  $\text{O}(7)\text{Pb}_4$  с  $\text{O}(2)$  и  $\text{O}(7)$  в качестве центральных атомов кислорода (рис. 5). Цепочки тетраэдров  $\text{O}(2)\text{Pb}_4$  и  $\text{O}(7)\text{Pb}_4$  ориентированы вдоль направлений [010] и [100] соответственно. Основываясь на образовании центросимметричных структурных единиц  $\text{O}_4\text{Pb}_{10}$  и присутствии октаэдров  $\text{WO}_6$ , кристаллическая структура  $\text{Pb}_5\text{WO}_8$  может быть представлена в виде кристаллохимической формулы  $(\text{Pb}_5\text{O}_2)(\text{WO}_6)$ .

Следует отметить, что структурная модель  $\text{Pb}_5\text{WO}_8$  частично воспроизводит расположение катионов в желтом  $\beta$ - $\text{PbO}$  полиморфе массиките [26]. В этой структуре катион  $\text{Pb}^{2+}$  имеет кислородную квадратно-пирамидальную координацию, в которой две связи свинец–кислород короче, а две другие длиннее среднего значения. Полученная в результате структурная модель  $\text{Pb}_5\text{WO}_8$  в основных деталях совпадает со структурой  $\text{Pb}_5\text{TeO}_8$  [3]. Это неудивительно, учитывая одинаковое координационное число и валентное состояние катиона  $\text{Te}^{6+}$  и его близкий ионный радиус (0.56 Å для  $\text{Te}^{6+}$  и 0.60 Å для  $\text{W}^{6+}$  [17]). В то же время моноклинная структура  $\text{Pb}_5\text{MoO}_8$  (пр. гр.  $P2/c$ ,  $a = 15.316$ ;  $b = 11.827$ ;  $c = 11.639$  Å;  $\beta = 90.20^\circ$ ;  $Z = 8$ ) [36] заметно отличается от структуры  $\text{Pb}_5\text{WO}_8$  несмотря на близкий ионный радиус (0.59 Å для  $\text{Mo}^{6+}$  и 0.60 Å для  $\text{W}^{6+}$  [17]). При этом структурная модель  $\text{Pb}_5\text{MoO}_8$  в общих чертах по-

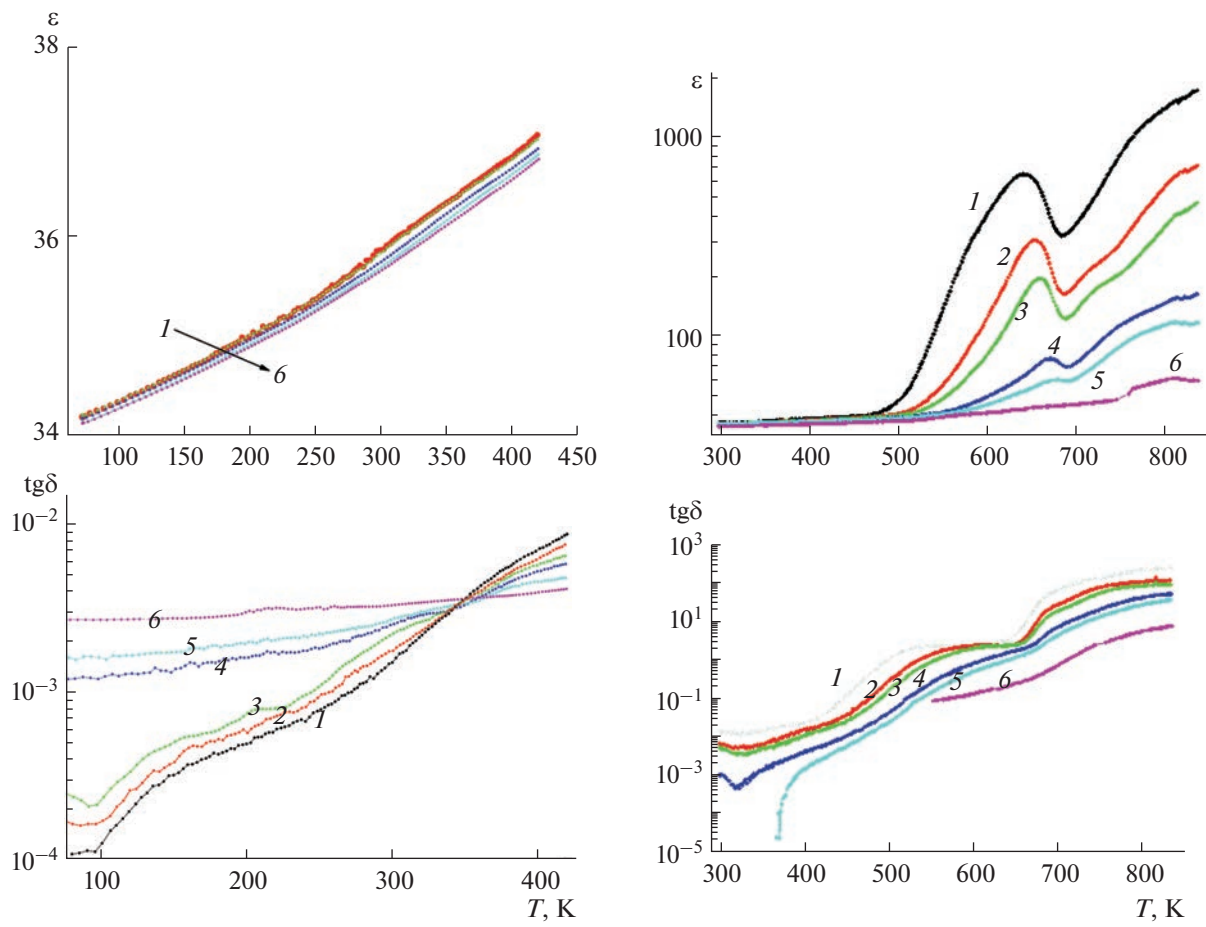
вторяет расположение катионов в желтом  $\alpha$ - $\text{PbO}$  полиморфе.

**Диэлектрические измерения.** Наличие в структуре заметного количества катионов свинца с неделенной парой электронов удовлетворяет кристаллохимическому критерию возникновения в ней спонтанно-поляризованного состояния [37]. Поэтому проведение диэлектрических и пироэлектрических измерений в широком температурном интервале представлялось вполне оправданным.

Исследования температурно-частотных зависимостей диэлектрической проницаемости  $\epsilon(T, f)$  и тангенса угла диэлектрических потерь  $\text{tg}\delta(T, f)$  кристаллов проводили в интервале температур 80–840 К в диапазоне частот  $f = 1 \text{ кГц}–1 \text{ МГц}$  с использованием измерителя имmittанса E7-30 (МИИПИ, Минск, Белоруссия). Амплитуда измерительного напряжения составляла при этом 1 В. Полученные зависимости  $\epsilon(T, f)$  и  $\text{tg}\delta(T, f)$  представлены на рис. 7.

Рост температуры в области 80–475 К вызывает монотонное возрастание значений  $\epsilon$  и  $\text{tg}\delta$  от 34 и  $\sim 10^{-3}$  до 37 и  $\sim 0.2$  без характерных для фазовых переходов особенностей. Дальнейшее увеличение температуры вызывает заметное ускорение возрастания  $\epsilon$  и  $\text{tg}\delta$ , при этом в интервале 640–680 К на зависимости  $\epsilon(T)$  наблюдаются довольно выраженные максимумы, сопровождаемые максимумами на зависимости  $\text{tg}\delta(T)$ , лежащими на  $\sim 50$  К ниже максимумов  $\epsilon$  (рис. 7). Положение указанных максимумов  $\epsilon$  и  $\text{tg}\delta$  смещается с ростом частоты в сторону высоких температур, что указывает на их релаксационный характер.

Зависимость  $f(T_m)$ , где  $T_m$  – температура максимума  $\text{tg}\delta$ , в координатах  $\lg f - 1/T$  аппроксимируется прямой линией, что свидетельствует о подчинении времени релаксации  $\tau$  активационному закону Аррениуса [38]:  $\tau = 1/2\pi f = \tau_0 \exp(E_a/kT)$  с  $f_0 = 1/2\pi\tau_0 = 5.2 \times 10^{10}$  Гц,  $E_a = 0.85 \text{ эВ}$  ( $\tau_0$  – время релаксации при бесконечно высокой температуре,  $E_a$  – энергия активации ре-



**Рис. 7.** Температурные зависимости диэлектрической проницаемости  $\epsilon$  и тангенса угла диэлектрических потерь  $\text{tg}\delta$ , измеренные вдоль оси  $b$  кристалла  $\text{Pb}_5\text{WO}_8$  на частотах  $f = 1$  (1), 5 (2), 10 (3), 50 (4), 100 (5) и 1000 кГц (6).

лаксационного процесса,  $k$  – константа Больцмана). Возникновение наблюдаемого диэлектрического релаксационного процесса вызвано, по-видимому, наличием в кристаллической структуре некоторого количества вакансий свинца и кислорода, что характерно для Pb-содержащих оксидов [39, 40].

Тестирование кристаллов на наличие пироэлектрического эффекта, выполненное в области температур 80–350 К квазистатическим методом в соответствии с установленной при структурном анализе центросимметричности кристаллической структуры этой фазы, дало отрицательный результат.

## ЗАКЛЮЧЕНИЕ

Две серии образцов разного состава  $(1 - x)\text{PbO} \cdot \text{WO}_3$  ( $x = 0.10, 0.15, 0.20, 0.25, 0.33$ ) синтезированы обжигом гомогенизированных смесей оксидов  $\text{PbO}$  и  $\text{WO}_3$  при 710 и 820°C соответственно. При 710°C синтез всех образцов проходил в твердофазном состоянии, а при 820°C – в условиях

частичного плавления ( $x = 0.10, 0.15$  и 0.25), полного плавления ( $x = 0.20$ ) и твердофазного состояния ( $x = 0.33$ ).

Из закристаллизованных расплавов состава  $(1 - x)\text{PbO} \cdot \text{WO}_3$  ( $x = 0.15$  и 0.20) были выделены прозрачные с желтой окраской пластинчатые монокристаллы фазы  $\text{Pb}_5\text{WO}_8$ , размеры которых достигали  $0.5 \times 2.0 \times 4.0$  мм. Установлено, что дифрактограмма измельченных в порошок кристаллов индицируется на основе моноклинной элементарной ячейки с параметрами  $a = 7.4430(1)$ ,  $b = 12.1156(2)$ ,  $c = 10.6284(2)$  Å,  $\beta = 90.658(1)$ °. Проведенный термогравиметрический анализ образцов фазы  $\text{Pb}_5\text{WO}_8$  показывает, что она плавится с разложением на  $\text{PbO}$  и жидкость при 712°C.

Рентгеноструктурный анализ кристаллов  $\text{Pb}_5\text{WO}_8$  выполнен при 100 и 293 К. Установлено, что кристаллическая структура  $\text{Pb}_5\text{WO}_8$  имеет слоистый характер, где октаэдры  $\text{WO}_6$  и сильно искаженные многогранники  $\text{PbO}_n$  ( $n = 4, 5$ ) объединены вдоль общих вершин и ребер, образуя

сложные слои (010). Слои образуются с участием всех полиэдров атомов свинца и вольфрама, и их укладка в структуре происходит вдоль направления [010]. Катионы W располагаются между цепочками многогранников Pb, обеспечивая соединение структуры в трехмерный каркас. Октаэдры  $\text{WO}_6$  в структуре изолированы друг от друга, их можно рассматривать как жесткие блоки, которые заметно искажены от идеальной октаэдрической геометрии. Интересной особенностью кристаллической структуры  $\text{Pb}_5\text{WO}_8$  является тенденция к образованию характерных структурных полостей, в которых связаны одиночные электронные пары  $\text{Pb}^{2+}$ .

В структуре  $\text{Pb}_5\text{WO}_8$  структурная роль неподеленной пары электронов заключается в асимметричном искажении координации катионов  $\text{Pb}^{2+}$ .

Рассмотрение данной кристаллической структуры в анион-центрированном аспекте позволяет получить дополнительную иллюстративную базу соединений, содержащих анион-центрированные постройки различной топологии.

В интервале температур  $T = 80\text{--}840\text{ K}$  в диапазоне частот  $f = 1\text{ кГц}\text{--}1\text{ МГц}$  изучены температурные зависимости диэлектрической проницаемости  $\epsilon$  и тангенса угла диэлектрических потерь  $\text{tg}\delta$  монокристаллов  $\text{Pb}_5\text{WO}_8$  вдоль их оси  $b$ . На зависимостях в области  $640\text{--}680\text{ K}$  обнаруживаются максимумы релаксационного характера, связанные с наличием в кристаллической структуре некоторого количества вакансий свинца и кислорода.

## БЛАГОДАРНОСТЬ

А.И. Сташ благодарит Министерство науки и высшего образования Российской Федерации за поддержку в проведении рентгенодифракционных исследований с использованием оборудования ИНЭОС РАН (госзадание № 075-00697-22-00).

## ФИНАНСИРОВАНИЕ РАБОТЫ

В РТУ МИРЭА работа выполнена при поддержке Министерства науки и высшего образования России в рамках государственного задания по созданию молодежных лабораторий FSFZ-2022-0007, использовалось оборудование Центра коллективного пользования РТУ МИРЭА, получившего поддержку Минобрнауки РФ в рамках Соглашения от 01.09.2021 № 075-15-2021-689.

## КОНФЛИКТ ИНТЕРЕСОВ

Авторы заявляют, что у них нет известных конкурирующих финансовых интересов или личных отношений, которые могли бы повлиять на работу, описанную в статье.

## ДОПОЛНИТЕЛЬНАЯ ИНФОРМАЦИЯ

Дополнительную кристаллографическую информацию о рассматриваемой структуре можно получить в Информационном центре Карлсруэ, 76344 Эггенштайн-Леопольдсхайм, Германия (факс:(+49)7247-808-666 e-mail: [crysdata@fiz-karlsruhe.de](mailto:crysdata@fiz-karlsruhe.de), <http://www.fiz-karlsruhe.de/> по именам авторов и номерам депозитарных CSD, указанным в табл. 1.

## СПИСОК ЛИТЕРАТУРЫ

- Chang L.L.Y. // J. Am. Ceram. Soc. 1971. V. 54. № 7. P. 357.  
<https://doi.org/10.1111/j.1151-2916.1971.tb12316.x>
- Jantz S.G., Pielhofer F., Höppe H.A. // Z. Kristallogr. 2020. V. 235. № 8–9. P. 311.  
<https://doi.org/10.1515/zkri-2020-0041>
- Artner C., Weil M.J. // Solid State Chem. 2013. V. 199. P. 240.  
<https://doi.org/10.1016/j.jssc.2012.12.007>
- Annenkov A.A., Korzhik M.V., Lecoq P. // Nucl. Instrum. Methods Phys. Res., Sect. A. 2002. V. A490. P. 30.  
[https://doi.org/10.1016/S0168-9002\(02\)00916-6](https://doi.org/10.1016/S0168-9002(02)00916-6)
- Huhtinen M., Lecomte P., Luckey D. et al. Nuclear Instruments and Methods in Physics Research: Section A: Accelerators, Spectrometers, Detectors and Associated Equipment. 2006. V. A545. P. 63.  
<https://doi.org/10.1016/j.nima.2005.01.304>
- Auffray E. // IEEE Transactions on Nuclear Science. 2008. V. 55. P. 1314.  
<https://doi.org/10.1109/TNS.2007.913935>
- Adžić P., Almeida N., Andelin D. et al. // J. Instrumentation. 2020. V. 5. P. 03010.  
<https://doi.org/10.1088/1748-0221/5/03/P03010>
- Fujita T., Muramatsu K. // Mater. Res. Bull. 1979. V. 14. P. 5.  
[https://doi.org/10.1016/0025-5408\(79\)90224-1](https://doi.org/10.1016/0025-5408(79)90224-1)
- Jantz S.G., Pielhofer F., Dialer M., Höppe H.A. // Z. Anorg. Allg. Chem. 2017. V. 643. P. 2031.  
<https://doi.org/10.1002/zaac.201700335>
- Powder Diffraction files of the International Centre for Diffraction Data (ICDD). 1999.
- Perry D.L., Wilkinson T.J. // Appl. Phys. A: Materials Science & Processing. 2007. V. 89. № 1. P. 77.  
<https://doi.org/10.1007/s00339-007-4073-y>
- APEX3, SAINT and SADABS. Bruker AXS Inc., Madison, Wisconsin, USA, 2019.
- Sheldrick G.M. // Acta Crystallogr., Sect. C. 2015. V. 71. P. 3.  
<https://doi.org/10.1107/S2053229614024218>
- Momma K., Izumi F. // J. Appl. Crystallogr. 2011. V. 44. P. 1272.  
<https://doi.org/10.1107/S0021889811038970>
- Razzazi V., Alaei S. // Chinese Phys. 2017. V. B26. P. 116501.  
<https://doi.org/10.1088/1674-1056/26/11/116501>
- Sorrell C.A. // J. Am. Ceram. Soc. 1970. V. 53. P. 55.  
<https://doi.org/10.1111/j.1151-2916.1970.tb15964.x>

17. *Shannon R.D.* // *Acta Crystallogr., Sect. B*. 1976. V. 32. P. 751.  
<https://doi.org/10.1107/S0567739476001551>
18. *Salje E.* // *Acta Crystallogr.* 1977. V. B33. P. 574.  
<https://doi.org/10.1107/S0567740877004130>
19. *Diehl R., Brandt G., Salje E.* // *Acta Crystallogr.* 1978. V. B34. P. 1105.  
<https://doi.org/10.1107/S0567740878005014>
20. *Brese N., O'Keeffe M.* // *Acta Crystallogr.* 1991. V. B47. P. 192.  
<https://doi.org/10.1107/S0108768190011041>
21. *Brown I.D.* Structure and Bonding in Crystals. V. 2. N.Y.: Academic Press, 1981. P. 49.
22. Сийдра О.И. Кристаллохимия кислородсодержащих минералов и неорганических соединений низковалентных катионов таллия, свинца и висмута. Автореф. дис. ... докт. геол.-мин. наук. СПб., 2016. 25 с.
23. Кривовичев С.В. Кристаллохимия минералов и неорганических соединений с комплексами анионоцентрированных тетраэдров. СПб.: Изд-во СПб. ун-та 2001, 198 с.
24. Krivovichev S.V. Structural Mineralogy and Inorganic Crystal Chemistry. St. Petersburg University Press, 2009. 398 p.
25. Müller U. Inorganic Structural Chemistry. John Wiley & Sons Ltd, 2006.  
<https://doi.org/10.1002/9780470057278>
26. Уэллс А. Структурная неорганическая химия: В 3-х т. Перевод с англ. М.: Мир, 1987.
27. Бокий Г.Б. Кристаллохимия. М.: Наука, 1971. 400 с.
28. Gillespie R.J. Molecular Geometry. London: Van Nostrand Reinhold, 1972.
29. Гиллеспи Р., Харгиттай И. Модель отталкивания электронных пар валентной оболочки и строение молекул. М.: Мир, 1992. 296 с.
30. Парть Э. Некоторые главы структурной неорганической химии. Пер. с англ. М.: Мир, 1993. 144 с.
31. Асланов Л.А. Структуры веществ. М.: Изд-во Моск. ун-та, 1989. 161 с.
32. Matar S.F., Galy J. // *Prog. Solid State Chem.* 2015. V. 43. P. 82.  
<https://doi.org/10.1016/j.progsolidstchem.2015.05.001>
33. Balic Zunic T., Vickovic I. // *J. Appl. Crystallogr.* 1996. V. 29. P. 305.  
<https://doi.org/10.1107/S0021889895015081>
34. Gagné O.C., Hawthorne F.C. // *Acta Crystallogr.* 2018. V. B74. P. 63.  
<https://doi.org/10.1107/S2052520617017437>
35. Siidra O.I., Krivovichev S.V., Filatov S.K. // *Z. Kristallogr.* 2008. V. 223. P. 114.  
<https://doi.org/10.1524/zkri.2008.0009>
36. Nihtanova D.D., Ivanov V.T., Yamakov V.I. // *Z. Kristallogr.* 1997. V. 212. P. 191.  
<https://doi.org/10.1524/zkri.1997.212.3.191>
37. Веневцев Ю.Н., Политова Е.Д., Иванов С.А. Сегнето- и антисегнетоэлектрики семейства титаната бария. М.: Химия, 1985. 256 с.
38. Jonscher A.K. Dielectric Relaxation in Solids. London: Chelsea Dielectric Press, 1983. 380 p.
39. Bidault O., Goux P., Kchikech M. et al. // *Phys. Rev.* 1994. V. 49B. № 12. P. 7868.  
<https://doi.org/10.1103/PhysRevB.49.7868>
40. Kang B.S., Choi S.K., Park C.H. // *J. Appl. Phys.* 2003. V. 94. № 3. P. 1904.  
<https://doi.org/10.1063/1.1589595>